



ผลการทดลองและการวิเคราะห์

การศึกษาวิจัยนี้ เป็นการวิจัยว่า ไบพัตซึ่งมีมุมไบพัตเท่าไรจึงจะมีประสิทธิภาพสูงกว่า ไบพัตแบบเดิมซึ่งใช้กันอยู่ในนาุ้ง โดยการนำแบบจำลองไบพัตซึ่งย่อมาตราส่วนมาจากไบพัตของจริงมาทำการทดลองสูบน้ำที่ค่าเฮดต่าง ๆ และวัดค่าเฮด ความเร็วการไหลของน้ำ และแรงบิดที่เพลานำข้อมูลไปทำการวิเคราะห์แล้วทำการออกแบบมุมไบพัตใหม่อีก 3 แบบ ซึ่งไบพัตแบบหนึ่งจะใช้วัสดุ 2 ชนิด คือ อลูมิเนียม และทองเหลือง นำเอาไบพัตแต่ละตัวมาทำการสูบน้ำที่เฮดต่าง ๆ แล้วทำการวัดค่าเฮด ความเร็วการไหลของน้ำ และแรงบิดที่เพลานำข้อมูลที่ได้มาวิเคราะห์

4.1 วิธีการวิเคราะห์

ประสิทธิภาพของเครื่องสูบน้ำ

$$e = \frac{Q\gamma H}{74.839 \times 9.81 P_{in}}$$

Q = อัตราการไหลของน้ำในรางส่งน้ำ, ลบ.ม./วินาที

γ = น้ำหนักจำเพาะของน้ำ, นิวตัน/ลบ.ม.

H = เฮดของน้ำในรางส่งน้ำ, เมตร

P_{in} = กำลังงานที่เพลานำ, กำลังม้า

(1 กำลังม้า = 74.839 × 9.81 นิวตัน - เมตร/วินาที)

ค่าต่าง ๆ ในตารางข้อมูลและผลการคำนวณหาประสิทธิภาพของไบพัตแต่ละแบบ ใน

ภาคผนวก ก.1 สามารถแยกอธิบายได้ดังนี้

ช่องที่ 1 เป็นค่าเฮดซึ่งได้จากการวัดระดับน้ำในเครื่องวัดแบบกระบอกแก้ว

ช่องที่ 2 เป็นอัตราการไหลของน้ำในรางส่งน้ำ ซึ่งได้มาจากตารางในภาคผนวก ก.3

ช่องที่ 3 เป็นกำลังงานที่ได้จากเครื่องสูบน้ำ, กำลังม้า

$$P_{out} = \frac{Q\gamma H}{74.839 \times 9.81}$$

ช่องที่ 4 เป็นค่าแรงที่เบรคเพลลา โดยวัดจากเครื่องชั่งสปริงซึ่งติดตั้งอยู่กับFriction brake

ช่องที่ 5 เป็นความยาวแขนของแรงซึ่งใช้เบรคเพลลา โดยวัดระยะจากเครื่องชั่งสปริง ถึงจุดศูนย์กลางของเพลลา

ช่องที่ 6 เป็นกำลังงานที่เพลลา, กำลังม้า

$$\text{คำนวณจาก } P_{in} = \frac{F \cdot r \cdot 2\pi N}{74.839 \times 9.81}$$

ช่องที่ 7 เป็นประสิทธิภาพของเครื่องสูบน้ำ

$$\text{คำนวณจาก } e = \frac{P_{out}}{P_{in}} \times 100$$

ค่าต่าง ๆ ในตารางข้อมูลและผลการคำนวณหาอัตราการไหลของน้ำในรางส่งน้ำ ในภาคผนวก ก.2 สามารถแยกอธิบายได้ดังนี้

ช่องที่ 1 เป็นค่าเซต ได้จากการวัดระดับน้ำในเครื่องวัดแบบกระบอกแก้ว

ช่องที่ 2 เป็นพื้นที่หน้าตัดการไหลของน้ำในรางส่งน้ำ, ตารางเมตร

$$\text{คำนวณจาก } A = BH$$

$$\text{โดย } B = \text{ความกว้างขวางของรางส่งน้ำ} = 0.30 \text{ เมตร}$$

ช่องที่ 3 เป็นความแตกต่างระหว่างความสูงของน้ำใน Pitot tube ซึ่งทำการวัดที่ตำแหน่ง L

ช่องที่ 4 เป็นความแตกต่างระหว่างความสูงของน้ำใน Pitot tube ซึ่งทำการวัดที่ตำแหน่ง C

ช่องที่ 5 เป็นความแตกต่างระหว่างความสูงของน้ำใน Pitot tube ซึ่งทำการวัดที่ตำแหน่ง R

ช่องที่ 6 เป็นค่าเฉลี่ยของความแตกต่างระหว่างความสูงของน้ำใน Pitot tube

$$\text{คำนวณจาก } h_{ave} = \frac{h_L + h_C + h_R}{3}$$

ช่องที่ 7 เป็นค่าความเร็วการไหลของน้ำในรางส่งน้ำ, เมตร/วินาที

ช่องที่ 8 เป็นค่าอัตราการไหลของน้ำในรางส่งน้ำ, ลบ.ม./วินาที

4.2 ผลการทดลองซึ่งใช้ใบพัดแบบเดิม

ผลจากการทดลองซึ่งใช้แบบจำลองใบพัดซึ่งย่อส่วนมาจากแบบเดิม มีข้อมูลรายละเอียดดังแสดงไว้ในตารางภาคผนวก ก.1 ผลที่ได้จากตารางภาคผนวก ก.1 สามารถนำมาลากเส้นโค้งได้ดังรูปที่ ก.13 ซึ่งจะเห็นได้ว่า

ที่ความเร็วรอบ 1,800 รอบ/นาที ได้ประสิทธิภาพสูงสุด 13.55% เมื่อทำการสูบน้ำที่เขต 0.120 เมตร

ที่ความเร็วรอบ 2,000 รอบ/นาที ได้ประสิทธิภาพสูงสุด 13.60% เมื่อทำการสูบน้ำที่เขต 0.135 เมตร

ที่ความเร็วรอบ 2,200 รอบ/นาที ได้ประสิทธิภาพสูงสุด 13.50% เมื่อทำการสูบน้ำที่เขต 0.177 เมตร

เมื่อพิจารณาจากเส้น contour ของประสิทธิภาพ จะเห็นว่าค่าประสิทธิภาพสูงสุดของแต่ละความเร็วรอบ มีแนวโน้มว่าจะสูงขึ้น ถ้าใช้ความเร็วรอบค่ากว่า 1,800 รอบ/นาที และสูบน้ำที่ค่าเขตค่ากว่า 0.120 เมตร

ดังนั้น จึงควรทำการออกแบบใบพัดใหม่ให้มีประสิทธิภาพสูงขึ้นที่ค่าเขตสูง ๆ

4.3 การคำนวณออกแบบใบพัด

โดยทั่วไปแล้วการสูบน้ำเข้านาทุ่ง จะมีค่าเขตไม่เกิน 1.00 เมตร ดังนั้นค่าเขตที่จะนำมาคำนวณออกแบบใบพัดใหม่ จึงใช้ค่าเขตเฉลี่ยเท่ากับ 0.50 เมตร ดังนั้นแบบจำลองที่ใช้สูบน้ำจึงใช้ค่าเขตเท่ากับ 0.15 เมตร ($L_r = 10/3$)

จากรูปที่ ก.5 ที่ความเร็วรอบ 2,000 รอบ/นาที ค่า $H = 0.15$ เมตร ใช้กำลังงานขับใบพัดแบบเดิมเท่ากับ 0.267 กำลังม้า

ถ้าต้องการให้ใบพัดที่ออกแบบใหม่มีประสิทธิภาพ 30% ที่ค่า $H = 0.15$ เมตร โดยใช้กำลังงานเท่าเดิม ควรได้อัตราการไหลจากสูตร

$$e = \frac{Q\rho H}{74.839 P}$$

โดยที่ค่า ρ หาได้จากการนำเอาปริมาณน้ำในกระบอกลงปริมาตรแล้วนำเอามาชั่งหาน้ำหนักซึ่งคำนวณหาจาก

$$\rho = \frac{(\text{น.น. กระบอกลง} + \text{น.น. น้ำ}) - \text{น.น. กระบอกลง}}{\text{ปริมาตรของน้ำในกระบอกลง}}$$

$$= \frac{1225.2 - 327.3}{900} \quad \text{กรัม/ลบ.ซม.}$$

$$= 0.997667 \quad \text{กรัม/ลบ.ซม.}$$

$$= 997.667 \quad \text{กก./ลบ.ม.}$$

$$\begin{aligned} \text{ดังนั้น } Q &= \frac{74.839 \text{ eP}}{\rho H} \\ &= \frac{74.839 \times 0.30 \times 0.267}{997.667 \times 0.15} \\ &= 0.040057 \quad \text{ลบ.ม./วินาที} \end{aligned}$$

$$\begin{aligned} \text{ความเร็วของน้ำตามแนวแกน, } V_a &= \frac{Q}{\pi D^2 / 4} \\ &= \frac{0.040057}{\pi (0.1524)^2 / 4} \\ &= 2.19593 \end{aligned}$$

$$\text{ที่ขอบในของใบพัด (D = 1 นิ้ว = 0.0254 เมตร)}$$

$$\begin{aligned} \text{ความเร็วรอบใบพัด, } u_1 &= \frac{\pi D N}{60} \\ &= \frac{\pi \times 0.0254 \times 2,000}{60} \\ &= 2.65988 \quad \text{เมตร/วินาที} \end{aligned}$$

$$\begin{aligned} \text{มุมใบพัดด้านทางเข้า } \beta_1 &= \tan^{-1} \left(\frac{V_a}{u_1} \right) \\ &= \tan^{-1} \left(\frac{2.19593}{2.65988} \right) \\ &= 39.54^\circ \end{aligned}$$

ถ้าให้ประสิทธิภาพเชิงกลศาสตร์ของใบพัด, $e_h = 0.80\%$

$$e_h = \frac{H \cdot g}{U_2 V_{u2}}$$

$$V_{u2} = \frac{H \cdot g}{e_h U_2}$$

$$= \frac{0.15 \times 9.81}{0.80 \times 2.65988}$$

$$= 0.69153 \quad \text{เมตร/วินาที}$$

มุมใบพัดด้านทางออก,

$$\beta_2 = \tan^{-1} \left(\frac{v_a}{U_2 - v_{u2}} \right)$$

$$= \tan^{-1} \left(\frac{2.19593}{2.65988 - 0.69153} \right)$$

$$= 48.13^\circ$$

โดยใช้หลักการคำนวณดังกล่าวเราก็สามารถหามุมใบพัดที่ตำแหน่ง D ค่าอื่นได้ดังนี้คือ

ที่ D = 2 นิ้ว = 0.0508 เมตร

ได้ $\beta_1 = 22.43$

$\beta_2 = 23.82$

ที่ D = 3 นิ้ว = 0.0762 เมตร

ได้ $\beta_1 = 15.39$

$\beta_2 = 15.82$

ที่ D = 5 นิ้ว = 0.127 เมตร

ได้ $\beta_1 = 9.38^\circ$

$\beta_2 = 7.87^\circ$

ซึ่งตารางแสดงการคำนวณออกแบบมุมใบพัดอยู่ในภาคผนวก ข

4.4 การทดลองซึ่งใช้ใบพัดที่ออกแบบขึ้นใหม่

ผลที่ได้จากการทดลอง มีข้อมูลรายละเอียดดังแสดงไว้ในตารางภาคผนวก ก.2 ซึ่งสามารถนำมาลากเส้นโค้งเปรียบเทียบกับมุมใบพัดแบบเดิม ซึ่งแสดงไว้ในรูปที่ 4.1 ถึง 4.3 จะเห็นได้ว่า

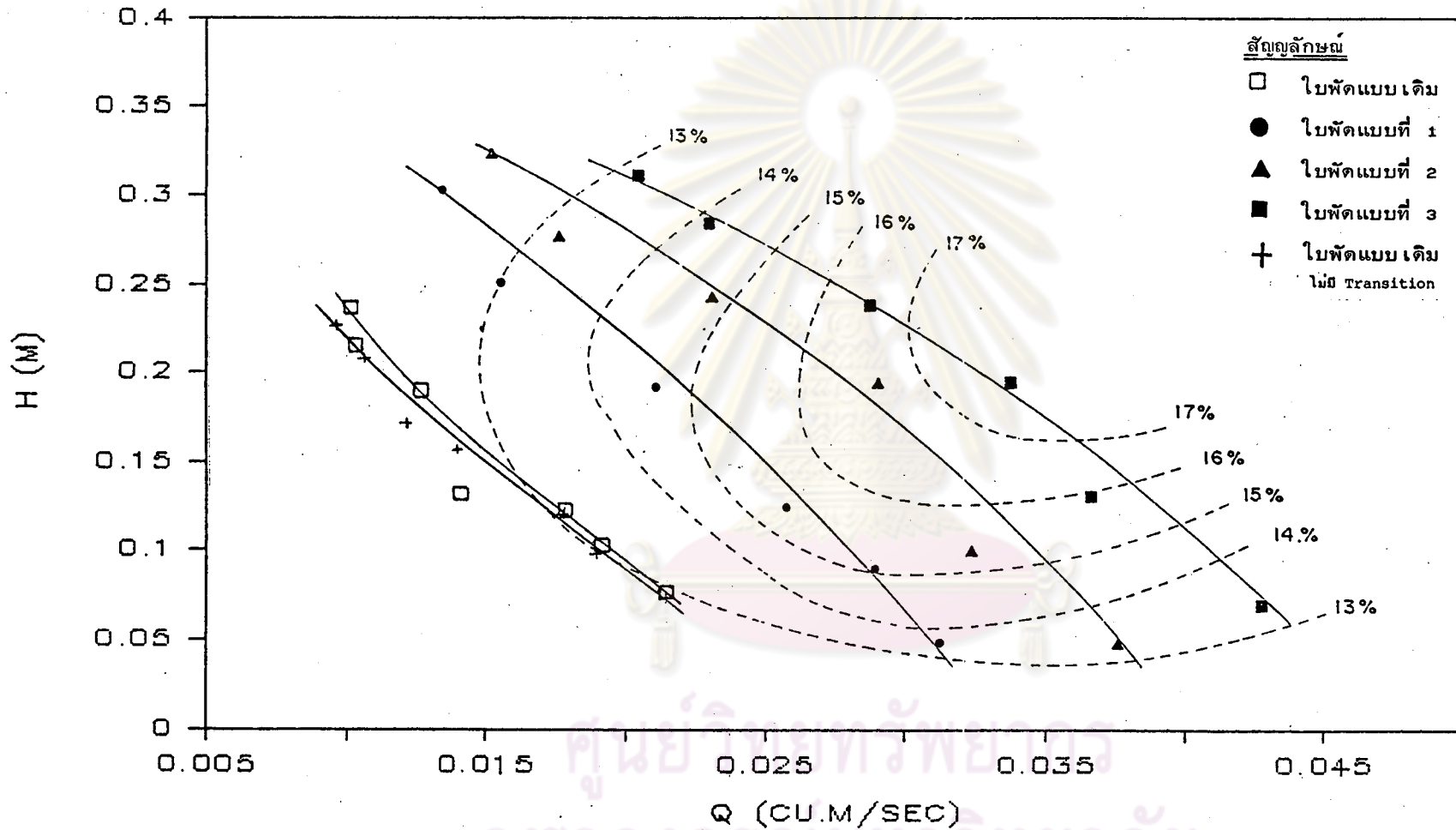
ที่ความเร็วรอบ 1,800 รอบ/นาที

ใบพัดแบบที่ 1 มีประสิทธิภาพสูงสุด 15.80% ที่ค่า H = 0.131 เมตร

ใบพัดแบบที่ 2 มีประสิทธิภาพสูงสุด 16.65% ที่ค่า H = 0.177 เมตร

ใบพัดแบบที่ 3 มีประสิทธิภาพสูงสุด 18.80% ที่ค่า H = 0.200 เมตร

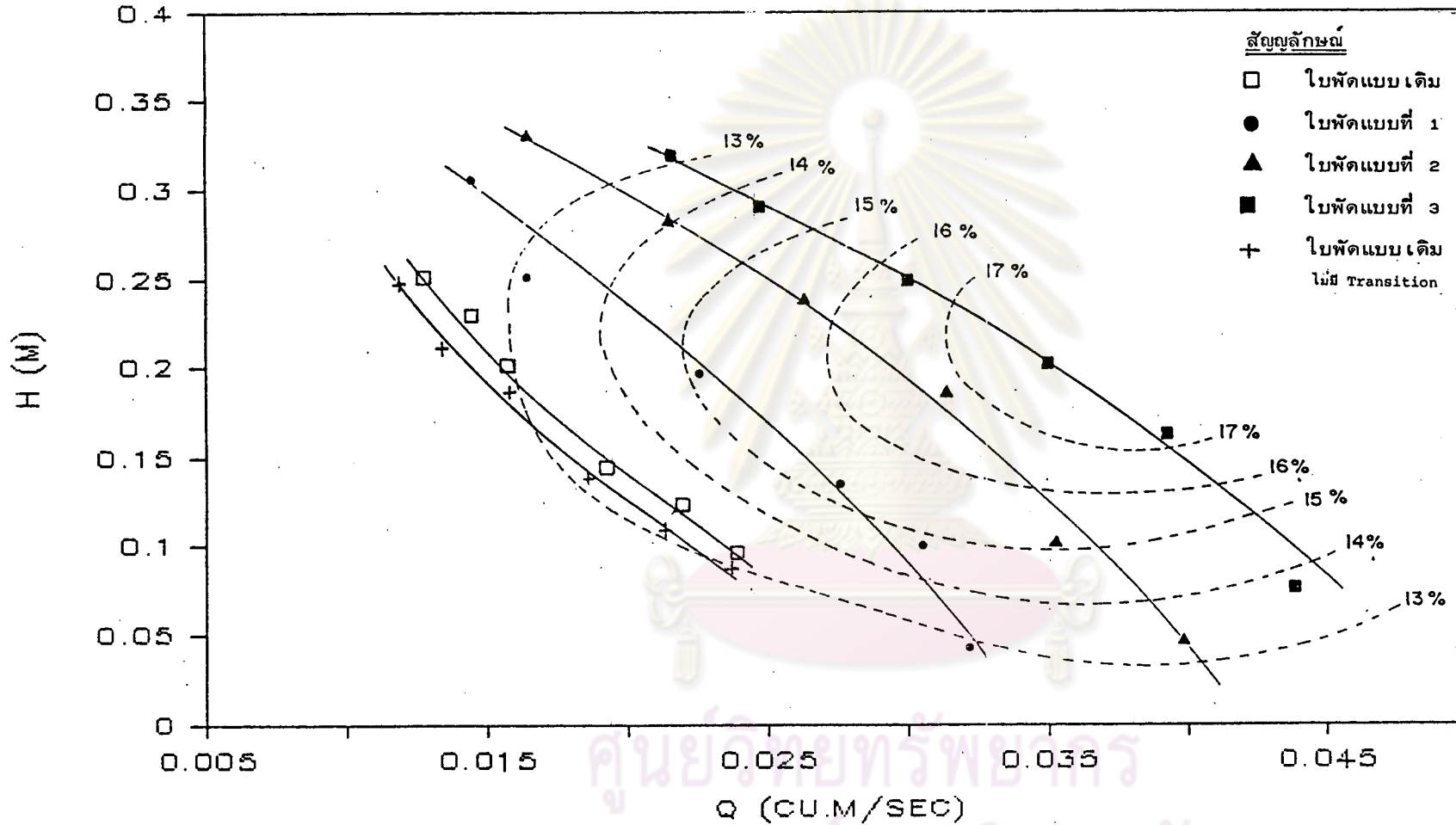
Q vs H CURVE



รูปที่ 4.1 แสดงความสัมพันธ์ระหว่างอัตราการไหลกับเสตของใบพัดแบบต่าง ๆ โดยมี

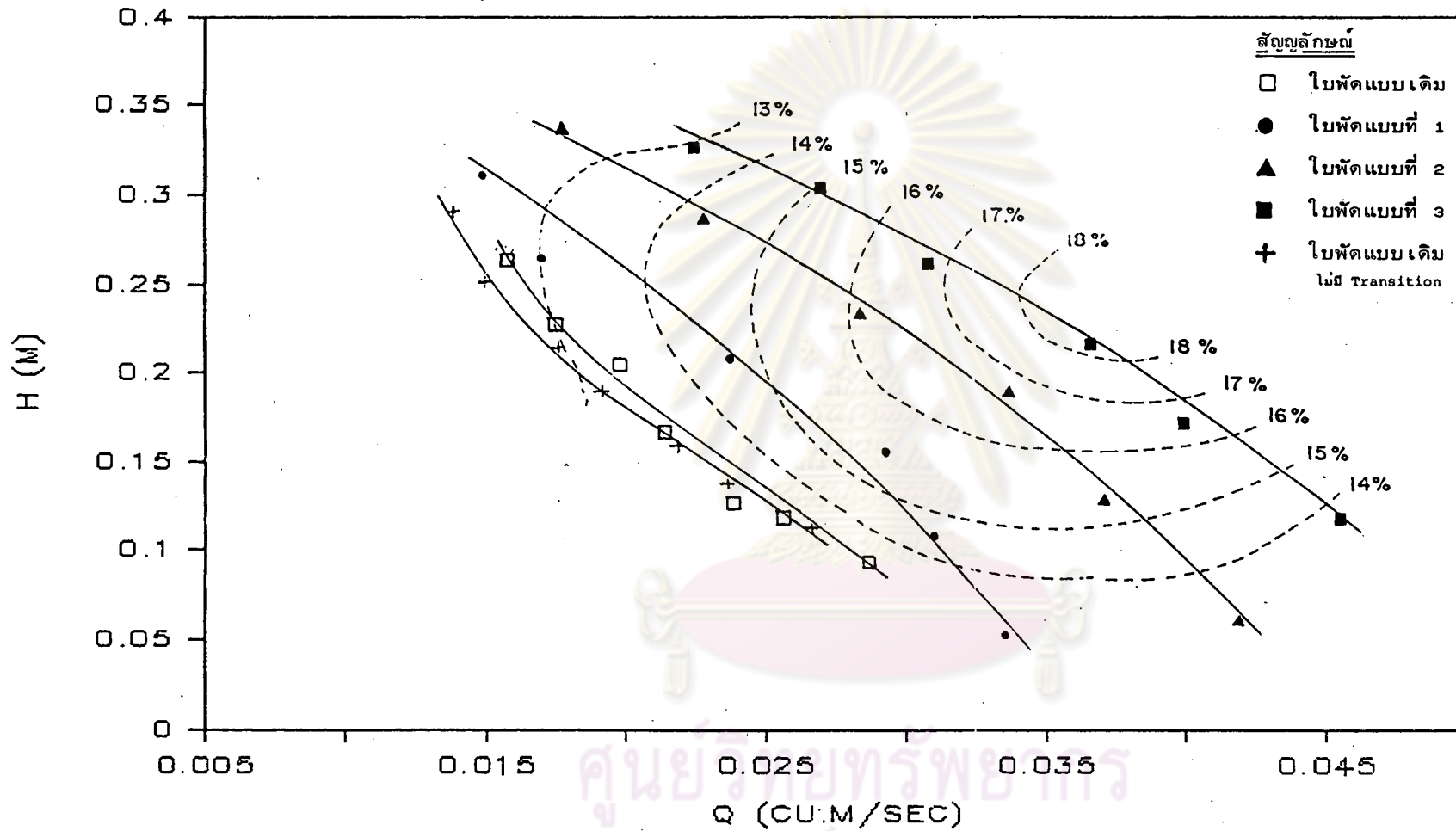
เส้น contour ของประสิทธิภาพร่วมอยู่ด้วย (ความเร็วรอบ 1800 รอบ/นาที)

Q vs H CURVE



รูปที่ 4.2 แสดงความสัมพันธ์ระหว่างอัตราการไหลกับเสถียรของไบพัดแบบต่าง ๆ โดยมีเส้น contour ของประสิทธิภาพร่วมอยู่ด้วย (ความเร็วรอบ 2000 รอบ/นาที)

Q vs H CURVE



รูปที่ 4.3 แสดงความสัมพันธ์ระหว่างอัตราการไหลกับเฮดของไบพัดแบบต่าง ๆ โดยมี
เส้น contour ของประสิทธิภาพร่วมอยู่ด้วย (ความเร็วรอบ 2200 รอบ/นาที)

ที่ความเร็วรอบ 2,000 รอบ/นาที

ใบพัดแบบที่ 1 มีประสิทธิภาพสูงสุด 15.7% ที่ค่า $H = 0.146$ เมตร

ใบพัดแบบที่ 2 มีประสิทธิภาพสูงสุด 16.75% ที่ค่า $H = 0.180$ เมตร

ใบพัดแบบที่ 3 มีประสิทธิภาพสูงสุด 18.15% ที่ค่า $H = 0.202$ เมตร

ที่ความเร็วรอบ 2,200 รอบ/นาที

ใบพัดแบบที่ 1 มีประสิทธิภาพสูงสุด 15.40% ที่ค่า $H = 0.157$ เมตร

ใบพัดแบบที่ 2 มีประสิทธิภาพสูงสุด 16.60% ที่ค่า $H = 0.193$ เมตร

ใบพัดแบบที่ 3 มีประสิทธิภาพสูงสุด 18.35% ที่ค่า $H = 0.217$ เมตร

ซึ่งสามารถสรุปผลได้ว่า ใบพัดซึ่งมีค่ามุมใบพัด (Blade angle) มาก จะให้ประสิทธิภาพสูงสุดที่ค่าเฮดสูง ใบพัดซึ่งมีค่ามุมใบพัด (Blade angle) น้อย จะให้ประสิทธิภาพสูงสุดที่ค่าเฮดต่ำ

แต่ในการสูบน้ำเข้านาุ้ง เครื่องสูบน้ำตัวต้นแบบจะใช้งานที่ค่าเฮดไม่เกิน 1.00 เมตร ดังนั้นจึงควรใช้ใบพัดซึ่งให้ประสิทธิภาพสูงสุดที่ค่าเฮดระหว่าง 0 ถึง 1 ค่าเฮดในแบบจำลองจึงเป็น 0 ถึง 0.30 เมตร พิจารณาจากรูปที่ 4.1 ถึง 4.3 จะเห็นว่าใบพัดแบบที่ 3 ให้ประสิทธิภาพดีที่สุดที่ความเร็วรอบ 2,200 รอบ/นาที

4.5 ผลการศึกษาเปรียบเทียบการใช้ใบพัดที่สร้างจากวัสดุแบบต่าง ๆ

สำหรับการศึกษาเรื่องการเกิด Cavitation ขึ้นที่ใบพัดนั้น ได้ทำการนำเอาใบพัดแต่ละตัวมาซึ่งน.น. เปรียบเทียบดูว่าก่อนและหลังการทดลอง ใบพัดแต่ละตัวสึกกร่อนไปมากน้อยแค่ไหน โดยใช้เวลาการทดลองแต่ละประมาณ 20 ชม. ปรากฏว่าไม่สามารถวัดผลได้ว่าใบพัดแบบใดสึกกร่อนไปเนื่องจากเกิด Cavitation (ข้อมูลการซึ่งน้ำหนักหาความสึกกร่อนเนื่องจากการเกิด Cavitation แสดงไว้ในภาคผนวก ค.)